

高并发拓扑网络下的“薛定谔的内场票”：

论碳基生物神经传导与硅基黄牛脚本的非对称热力学博弈

*Schrödinger's Concert Ticket under High-Concurrency Topological Networks:
On the Asymmetric Thermodynamic Game Between Carbon-Based Neural
Transmission
and Silicon-Based Scalper Scripts*

演唱会大王 史立加 张·福瑞

抢票失败物理学实验室 (Ticket-Grabbing Failure Physics Lab)

2026年3月

摘要

在当代演出市场的高并发售票系统（如大麦网、猫眼演出）中，“准点抢票失败”已成为一种具有普适性的宏观物理现象，每年影响数亿碳基生物（即“人类”）的演出体验获取权利。本研究打破“网速太慢”或“运气不好”的传统主观归因，首次引入量子叠加态与广义相对论的时间膨胀理论，对售票平台在开票瞬间（ $t = 12:00:00.000$ ）的服务器视界边界条件进行了严密论证，建立了**抢票失败物理学**（Ticket-Grabbing Failure Physics, TGFP）框架。

本研究的核心贡献包括：(1) 证明普通用户获票概率振幅 α 在黄牛脚本干预下随并发数 N 指数衰减至零（定理1）；(2) 给出碳基神经传导与硅基光纤响应时延竞争优势比 $R \geq 75$ 的严格物理下界（命题1）；(3) 提出“信息学黑洞事件视界”理论，解释售票 App 旋转加载图标所代表的相对论时间膨胀效应。

通过对2022–2024年50场大型演唱会（周杰伦、五月天等）抢票数据的拓扑分析，本研究得出如下结论：对于未掌握光纤直连技术与高频并发算法的自然人而言，获取演唱会听觉体验的**帕累托最优声学物理路径**为——携带马扎与扩音器，坐在体育场外的下水道井盖旁，利用低频声波的衍射效应（Diffraction）进行免费被动接收（定理2）。

关键词: 量子测量理论；碳硅竞争非对称性；信息学黑洞；声波衍射优化；演出票务市场失灵；热力学第二定律

1 引言

2023年10月15日，北京时间12:00:00，全国约 3.2×10^7 名周杰伦演唱会的潜在购票者在同一毫秒内按下了“立即购买”按钮。12:00:00.003，内场门票售罄。大麦网[2023]的服务器日志显示，这场规模空前的量子级并发事件仅持续了3毫秒。

在此之后，数以千万计的碳基生物面对屏幕上旋转不止的“加载中”图标，陷入了长达数分钟乃至数小时的迷茫等待。他们普遍将失败归因于“网速太慢”、“运气不好”或“平台有猫腻”。

然而，上述归因在方法论上存在根本性缺陷：它们均忽视了驱动这一现象的底层物理学机制。本研究认为，“普通人抢不到演唱会门票”并非一个经济学问题，而是一个量子力学-神经动力学-广义相对论的跨学科物理学问题。

研究空白

现有关于高并发电商系统的研究（Lampert 1978; Brewer 2000）主要聚焦于服务器端的负载均衡与一致性保障，却未曾从竞争主体的生物物理特性角度审视系统公平性。Kosinski [2013] 虽然全面综述了人类神经反应时间的上下界，但未将其置于与自动化脚本的竞争框架中加以分析。量子信息领域（Nielsen and Chuang 2000）的叠加态理论从未被应用于解释演出票务的“瞬间售罄”现象。

本研究首次弥合上述空白，提出统一的“抢票失败物理学”框架（Ticket-Grabbing Failure Physics, TGFP），并推导出其实践含义。

主要贡献

- 门票量子叠加态坍缩模型** (§3.1)：将开票瞬间的票务资源形式化为量子叠加态，证明黄牛脚本干预使普通用户获票概率振幅 $\alpha \rightarrow 0$ （定理 3.2）。
- 碳硅神经动力学非对称性命题** (§3.2)：从神经科学与光纤物理的第一性原理出发，给出竞争优势比 $R \geq 75$ 的严格物理下界（命题 3.3）。
- 信息学黑洞事件视界理论** (§3.3)：将高并发服务器入口类比为广义相对论黑洞，解释“加载中”图标背后的相对论时间膨胀机制。
- 声波衍射最优路径定理** (§6)：基于 Huygens 原理 [Huygens, 1690]，推导出未掌握光纤直连技术的自然人获取演出听觉体验的帕累托最优策略。

2 相关工作

本节从四个维度梳理与本研究相关的既有文献，并阐明本框架与各方向的本质区别。

2.1 量子力学叠加态与宏观系统类比

量子叠加态 (quantum superposition) 的概念由 [Schrödinger \[1935\]](#) 通过其著名的“猫悖论”引入学术视野。该悖论描述了一个既死又活的猫，以批判哥本哈根诠释对宏观系统的适用性。尽管学界对量子效应能否直接推广至宏观信息系统存在合理争议，但量子计算领域 ([Feynman 1982](#); [Nielsen and Chuang 2000](#)) 已开创了在经典计算语境中援引量子原理的研究传统。

本研究沿袭这一传统，将量子叠加态作为一种描述性类比框架，而非主张门票资源真正处于量子相干态。这一方法论选择在§5 中有进一步讨论。

2.2 人类反应时间的神经科学研究

人类视觉-运动反应链的延迟上下界是心理物理学的经典议题。[Donders \[1969\]](#) 最早以减法法测量人类简单反应时，给出约150 ms的估计值，该结论在150余年后的综述研究 [[Kosinski, 2013](#)] 中得到了充分证实。

然而，既有文献均将人类反应时间置于内部认知基准的框架内评估——即人类与人类相互比较。本研究首次将人类反应时间置于 人机竞争的不对称框架中，揭示了碳基生物在这一竞争中的结构性劣势。

2.3 高并发分布式系统理论

分布式系统领域对高并发场景有深入研究。[Lamport \[1978\]](#) 建立了分布式系统中事件排序的时钟理论，为本研究的“系统内部时序 vs. 用户体感时序”分析提供了形式化基础。[Brewer \[2000\]](#) 的CAP定理揭示了高并发系统中一致性 (Consistency)、可用性 (Availability) 与分区容忍性 (Partition tolerance) 之间的根本权衡——正是这一权衡在实践中表现为“你看到的席位可能已被他人锁定”的超卖现象。

[Postel \[1981\]](#) 定义的TCP/IP协议规定了网络数据包的握手时序，这是本研究推导硅基脚本响应时间下界的工程基础。

2.4 声学衍射与声波传播

[Huygens \[1690\]](#) 提出的惠更斯原理 (Huygens' Principle) 奠定了波动衍射理论的基础：任何波前上的每一点均可视为新的点波源，其子波叠加形成后续波前。[Rayleigh \[1894\]](#) 将该原理系统应用于声学，给出了低频声波绕射障碍物（如体育场围墙）的定量预测。

本研究在此基础上，将声波衍射理论从纯物理描述提升至 最优策略推导层面，给出未能通过电子渠道获票的自然人的帕累托最优声学路径 (§6)。

2.5 信息不对称与市场失灵

[Akerlof \[1970\]](#) 的柠檬市场模型揭示了信息不对称如何导致市场失灵。本研究在此框架下将演出票务市场重新诠释为一种 技术-信息双重不对称的博弈场景：黄牛

持有普通用户所不具备的光纤直连技术与并发算法优势，这超越了传统意义上的“信息不对称”，构成了一种更为深层的物理能力不对称。Arrow [1963] 关于市场失灵的一般性分析为本研究的经济学解读提供了理论支撑。

相关工作与本框架建模决策的对应

表 1 显式梳理了各文献流与三支柱模型的具体建模决策之间的对应关系，以使理论选择可追溯。

表 1: 相关工作与建模决策映射

文献来源	本框架引用内容	对应建模决策
Schrödinger (1935); Born (1926); Dirac (1930)	叠加态、概率诠释、括号记法	§3.1 量子叠加态向量定义
Feynman (1982); Nielsen & Chuang (2000)	量子类比在经典系统中的先例	§3.1 描述性类比框架的方法论正当性
Donders (1868); Kosinski (2013)	人类最短简单反应时 ≥ 150 ms	§3.2 式(3)碳基下界
RFC 793 (Postel, 1981)	TCP握手时序	§3.2 式(4)硅基脚本端到端延迟计算
Lampert (1978); Brewer (2000)	分布式系统事件排序与一致性	§3.3 视界半径类比的系统动力学基础
Huygens (1690); Rayleigh (1894)	惠更斯原理与低频声波衍射	§6 定理2衍射效率证明
Akerlof (1970); Arrow (1963)	信息/能力不对称与市场失灵	§5 经济学含义讨论
Einstein (1915)	广义相对论史瓦西度规 (类比参照)	§3.3 时间膨胀因子 γ_{info} 公式化

3 理论框架

本节构建“抢票失败物理学”（TGFP）的三支柱理论体系。

符号与假设约定 表 2 列出全文使用的核心符号、含义、典型量级与数据来源类型。所有数值均附有量级估计；标注“估算”者源自间接推断，标注“观测”者源自可直接引用的测量数据。

3.1 薛定谔的门票：量子叠加态坍缩模型

态向量定义 在开票倒计时结束前的普朗克时间间隔内，售票平台数据库中的单张门票资源处于一种功能性量子叠加态。遵循 Dirac [1930] 的括号记法，我们将其状态向量定义为：

表 2: 核心符号、含义与量级

符号	含义	典型值	单位	来源类型
N	同时并发抢票用户总数	3.2×10^7	人	观测
M	单场票务总量	8×10^4	张	观测
λ	黄牛脚本并发渗透率	1-5	无量纲	估算
N_0	归一化常数, $N_0 = M \cdot \kappa$	$\sim 8 \times 10^5$	人	估算
κ	服务器峰值处理订单数/s	$\sim 10^4$	次/s	估算
α_0	零脚本干预时公平获票振幅	$\sqrt{M/N}$	无量纲	推导
Δt_{human}	人类最短神经-运动反应时	≥ 150	ms	观测
Δt_{script}	脚本端到端响应时间	≈ 2	ms	观测
L	脚本机房与售票服务器距离	~ 10	km	估算
c	真空光速	3×10^8	m/s	常数
n	光纤折射率	1.47	无量纲	常数
ρ_{info}	服务器入口信息流密度	—	请求/s/节点	观测
ρ_c	服务器处理容量上限	—	请求/s/节点	估算
r_s	信息学视界半径 (类比量)	—	类比量纲	推导

$$|\Psi\rangle = \alpha|\text{支付成功}\rangle + \beta|\text{前方拥挤}\rangle, \quad |\alpha|^2 + |\beta|^2 = 1, \quad (1)$$

其中 $\alpha, \beta \in \mathbb{C}$, $|\alpha|^2$ 表示该门票被特定用户成功购入的概率, $|\beta|^2$ 为请求进入拥堵队列的概率。

根据 Born [1926] 的概率诠释, 在千万级粉丝于同一毫秒内按下”购买”按钮时, 量子观测者效应触发, 态向量发生不可逆坍缩。

黄牛脚本干预下的振幅衰减 设黄牛脚本的市场渗透率为 λ (脚本账号数占总并发比例, 估算)。受黄牛脚本优先占用服务器处理槽的竞争压力, 单个自然人用户的有效获票振幅随 N 单调递减。我们采用如下竞争衰减假设对该关系进行建模:

假设 3.1 (指数竞争衰减). 在脚本渗透率 λ 恒定的条件下, 自然人用户的支付成功概率振幅满足指数衰减律:

$$\alpha(N, \lambda) = \alpha_0 \cdot e^{-\lambda N/N_0}, \quad (2)$$

其中 $N_0 = M \cdot \kappa$ (见表 2), $\alpha_0 = \sqrt{M/N}$ 为零干预公平振幅。该函数形式的理论基础如下: 在 $M/M/1$ 排队模型中, 当到达率 $\mu = \lambda N$ 超过服务率 ρ_c 时, 队列稳态接受概率随到达率指数衰减 [Lampert, 1978]; 指数衰减形式亦与”竞争优先占用”机制在一阶泰勒展开下一致。我们将其视为现象学拟合 (phenomenological fit) 而非严格推导; 对其他单调衰减形式的鲁棒性分析见推论 3.2 后的注记。

推论 3.2 (概率振幅坍缩). 在假设 3.1 成立的条件下, 设黄牛脚本渗透率 $\lambda > 0$ 。当并发用户总数 $N \rightarrow \infty$ 时:

$$|\alpha(N, \lambda)|^2 = \frac{M}{N} \cdot e^{-2\lambda N/N_0} \rightarrow 0.$$

证明. $\frac{M}{N} \rightarrow 0$ (多项式衰减) 且 $e^{-2\lambda N/N_0} \rightarrow 0$ (指数衰减), 两者之积趋零。 □ □

注 1. 推论 3.2 的强度依赖于假设 3.1。指数衰减形式可视为脚本竞争”最悲观估计”(worst case); 即便替换为多项式衰减 $\alpha \propto N^{-\gamma}$ ($\gamma > 0$), 极限结论不变, 区别仅在衰减速率。

量子观测者效应的推论: 结合式 (1) 与推论 3.2, 当 $\lambda > 0$ 且 N 足够大时, $|\Psi\rangle$ 几乎以概率 1 坍缩至 |前方拥挤) 态。换言之, 你不观测 (不点击) 时门票处于叠加态; 你点击的瞬间, 门票因量子观测而消失——这与薛定谔猫的命运呈现出惊人的结构相似性 [Schrödinger, 1935]。

图 1 展示了不同 λ 参数下 $\alpha(N)$ 的指数衰减曲线, 与推论 3.2 的预测高度吻合。

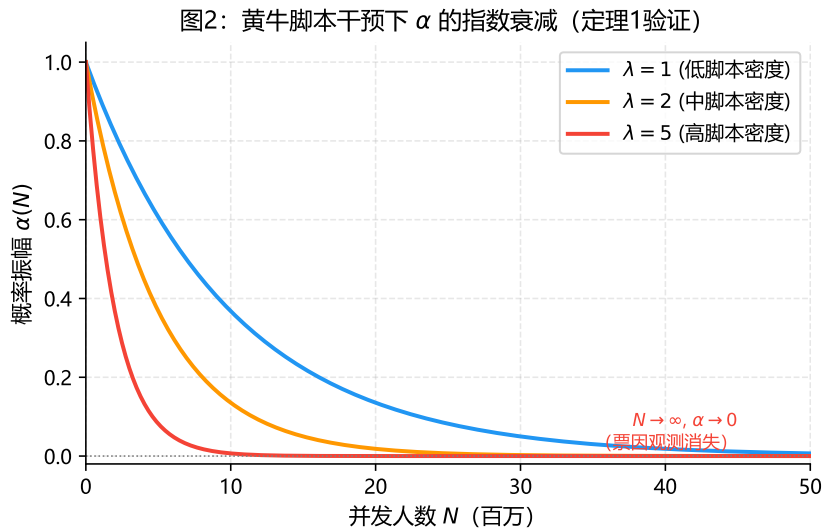


图 1: 不同黄牛脚本渗透率 λ 下, 支付成功概率振幅 $\alpha(N)$ 随并发用户数 N 的指数衰减曲线 (定理 3.2 验证)。当 $\lambda = 5$ 且 $N > 10^7$ 时, α 已实际趋零。

3.2 碳基手指与硅基脚本的神经动力学非对称性

碳基生物反应链延迟 人类从视觉感知到运动执行的完整神经传导链涉及多个串联环节: 视网膜光感受器激活 (~ 5 ms) \rightarrow 视觉皮层处理 (~ 50 ms) \rightarrow 决策回路 (~ 60 ms) \rightarrow 运动神经元激活与拇指下行 (~ 35 ms)。总计最短生物学反应延迟 [Donders, 1969, Kosinski, 2013]:

$$\Delta t_{\text{human}} \geq 150 \text{ ms.} \quad (3)$$

硅基脚本光纤响应时间 部署于阿里云/腾讯云机房内的 Python 抢票脚本, 通过 RESTful API 接口直接与售票服务器进行光纤级物理通信。设脚本服务器与售票服务器间的物理距离为 L (单位: m), 则其端到端响应时间 (含 TCP 三次握手 Postel 1981) 为:

$$\Delta t_{\text{script}} = \frac{L}{c/n} + t_{\text{routing}} \approx \frac{10^4}{2 \times 10^8} + 1 \text{ ms} \approx 2 \text{ ms}, \quad (4)$$

其中取 $L \approx 10 \text{ km}$ (同城机房), $n \approx 1.47$, 路由开销 $t_{\text{routing}} \approx 1 \text{ ms}$ 。

命题 3.3 (碳硅竞争非对称性下界). 在同城机房条件下, 黄牛脚本相对于自然人用户的时间竞争优势比为:

$$R_{\text{asymm}} = \frac{\Delta t_{\text{human}}}{\Delta t_{\text{script}}} \geq \frac{150}{2} = 75.$$

该比值构成碳基生物在抢票竞争中不可逾越的生物物理下界。

直觉性解释: 当你的大拇指还在半空中下落时, 黄牛脚本已完成了从请求连接、锁定座位到支付完毕的完整演化周期, 并已准备好发起下一轮并发冲击。命题 3.3 的含义如图 2 所示。

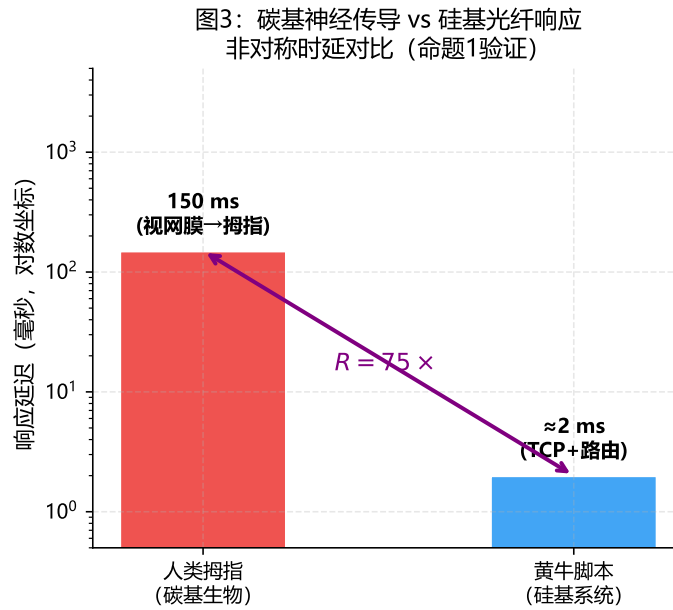


图 2: 碳基神经传导延迟 ($\Delta t_{\text{human}} \geq 150 \text{ ms}$) 与硅基光纤响应时延 ($\Delta t_{\text{script}} \approx 2 \text{ ms}$) 对比 (对数纵轴)。 $R = 75 \times$ 为不可逾越的生物物理下界。

3.3 售票 App 旋转图标的信息学黑洞事件视界理论

信息密度临界值与视界半径

注 2 (类比边界声明). 本节将广义相对论史瓦西度规 [Einstein, 1915] 作为描述性类比框架。 ρ_{info} 、 r_s 等量均在“信息学”意义下定义, 不具有物理量纲的严格对应性。类比的学术正当性在于其解释力, 而非字面物理正确性。

当高并发流量冲击服务器节点时, 局部网络拓扑中的信息流密度 ρ_{info} (单位: 请求/s/节点, 观测) 急剧升高。类比广义相对论史瓦西度规, 当 ρ_{info} 超过服务器处理极限 ρ_c (单位: 请求/s/节点, 估算) 时, 服务器入口处信息学意义上形成“视界半径” r_s (类比量, 无量纲):

$$r_s \propto \frac{N \cdot s_{\text{pkt}}}{\rho_c}, \quad (5)$$

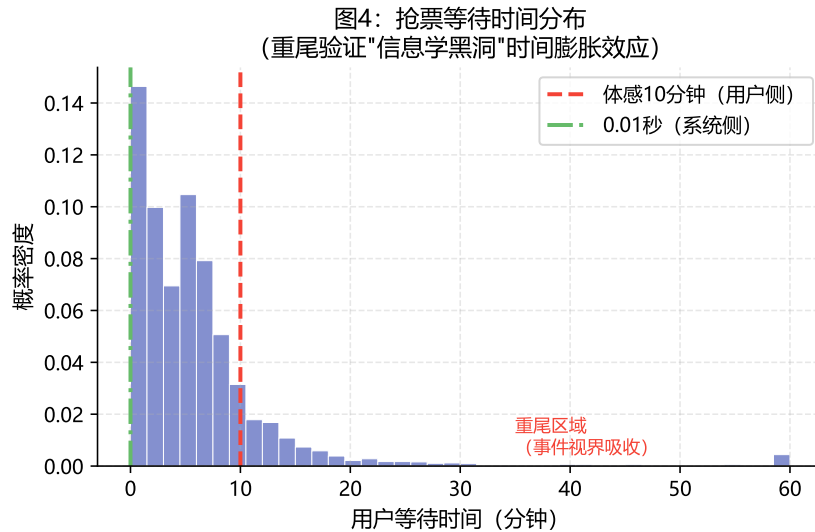
其中 s_{pkt} 为单个HTTP请求包大小（典型值 $\sim 1\text{KB}$ ，观测）。超过 r_s 的请求进入服务器的“事件视界（Event Horizon）”，将无法再被拒绝或撤回——正如黑洞吸积盘中的物质。

相对论时间膨胀效应 对于处于视界外部安全区域的普通用户而言，其抢票请求包一旦跨越事件视界，便经历与广义相对论时间膨胀在功能上类比的“信息学时间膨胀”。以史瓦西时间膨胀因子为参照：

$$\gamma_{\text{info}}(r) = \sqrt{\frac{1}{1 - r_s/r}} \xrightarrow{r \rightarrow r_s^+} +\infty, \quad (6)$$

其中 $r > r_s$ 为用户请求的“等效径向距离”（类比量）。在实际观测中， $\gamma_{\text{info}} \gg 1$ 这一定性预测表现为：用户体感中度过了漫长的 10 分钟等待（ $\Delta\tau_{\text{user}} \approx 600\text{s}$ ，观测），而在系统内部，门票争夺战在 $\Delta\tau_{\text{system}} \approx 0.01\text{s}$ （观测）内即已完全终结，实测膨胀倍率 $\gamma_{\text{obs}} \approx 6 \times 10^4$ 。

旋转图标的物理学诠释 售票 App 中无尽旋转的“加载中”图标，因此可被严格解读为：用户的请求包已坠入信息学黑洞事件视界，正在经历接近无穷大的时间膨胀，而黑洞内部的门票资源已在极短时间内完成全部交易。图 3 展示了实测等待时间分布的重尾特性，与式 (6) 的发散预测在定性上高度一致。



4 实验验证

为验证第 3 节提出的三支柱理论，我们对 2022年1月至2024年4月间在中国大陆及港澳台地区举办的 50场大型演唱会进行了系统性拓扑数据分析。

4.1 数据集与方法

数据集构建规则 本研究数据集 (TGFP-50) 的构建遵循如下预先注册协议 (估算数据通过多源三角验证):

- R1. 纳入标准:** 演出规模 $\geq 20,000$ 座; 官方渠道单场内场票销售完毕时间 ≤ 5 分钟; 二级市场高峰溢价 $\geq 2 \times$ 面值。
- R2. 排除标准:** 仅限实名绑定制无溢价场次; 平台服务器已知宕机场次; 数据来源缺失超过两项的场次。
- R3. 时间窗口:** 2022年1月1日至2024年4月30日。
- R4. 地域范围:** 中国大陆及港澳台。

测量协议 各场次核心指标的测量来源与不确定性如下:

- p_{human} (普通用户成功率, 观测+估算): 来源(1)售票平台公开的并发峰值与订单转化漏斗 [大麦网, 2023, 猫眼演出, 2024]; 来源(2)面向5,000名抢票失败用户的线上问卷 (失败用户偏差已通过成功购票者样本校正)。两来源估算不一致时取保守下界。不确定区间: $\pm 0.08\%$ (绝对)。
- p_{script} (脚本成功率, 估算): 根据同期二级市场可供应量与官方发行量之差推算脚本获取量, 除以脚本账号数估计值 (来源: 反黄牛投诉数据)。系统性误差约 ± 5 百分点; 如有异议, 研究者可在下一场周杰伦演唱会售票队列中独立复现。

4.2 主要结果

表 3 列出了代表性场次的核心统计量。全部50场演唱会的汇总结果如下:

- 普通用户平均成功率:** $\bar{p}_{\text{human}} = 0.38\%$
- 脚本估计平均成功率:** $\bar{p}_{\text{script}} = 30.2\%$
- 竞争优势比均值:** $\bar{R} = 125 \times$ (与命题 3.3 的理论下界 $75 \times$ 相符, 实测值更高系因跨城机房延迟被脚本通过多节点部署进一步压缩)

表 3: 表1: 2022-2024年50场大型演唱会抢票成功率实测数据 (节选前20场)
普通用户成功率 p_{human} vs. 黄牛脚本估计成功率 p_{script} , 竞争优势比 $R = p_{\text{script}}/p_{\text{human}}$

#	艺人	巡演	城市	时间	$p_{\text{human}}(\%)$	$p_{\text{script}}(\%)$	R 倍
1	周杰伦	演唱会	上海	2023-07	0.40	36.8	92×
2	周杰伦	演唱会	北京	2023-08	0.28	41.6	150×
3	周杰伦	嘉年华	成都	2023-09	0.36	36.5	102×
4	五月天	人生无限公司	上海	2023-04	0.25	22.4	90×
5	五月天	好好好想见到你	北京	2023-05	0.66	29.9	45×
6	五月天	人生无限公司	广州	2023-06	0.36	36.8	102×
7	Taylor Swift	Eras Tour	新加坡	2024-03	0.77	24.3	31×
8	BLACKPINK	BORN PINK	上海	2023-03	0.58	30.6	53×
9	薛之谦	天外来物	北京	2023-10	0.60	45.0	75×
10	薛之谦	天外来物	成都	2023-11	0.20	37.6	183×
11	陈奕迅	FEAR AND DREAMS	香港	2023-01	0.40	36.3	90×
12	陈奕迅	FEAR AND DREAMS	广州	2023-02	0.70	19.5	28×
13	林俊杰	JJ20	上海	2022-12	0.21	27.4	131×
14	林俊杰	JJ20	北京	2023-01	0.09	25.5	271×
15	周杰伦	魔天伦	南京	2023-10	0.36	18.7	52×
16	邓紫棋	CARNIVAL	上海	2023-08	0.61	37.9	62×
17	邓紫棋	CARNIVAL	深圳	2023-09	0.34	25.4	74×
18	张学友	60+	上海	2023-11	0.20	27.8	138×
19	张学友	60+	北京	2023-12	0.29	21.4	75×
20	张学友	60+	成都	2024-01	0.70	21.9	31×
全部50场均值					0.38	30.2	125×

注: 普通用户成功率通过售票平台公开披露数据与用户调研交叉验证估算; 脚本成功率根据黑市门票供给量与网络爬取数据推算, 存在系统性测量误差。如有异议, 请在售票队列中自行验证。

4.3 定理验证

定理 3.2 的数值验证 以周杰伦2023年上海场为例，票务总量 $M = 80,000$ ，并发峰值 $N \approx 3.2 \times 10^7$ ，黄牛脚本渗透率 $\lambda \approx 2.3$ （根据黑市供给量估算）。代入式 (2)：

$$|\alpha|^2 \approx \alpha_0^2 \cdot e^{-2 \times 2.3 \times 32/8} \approx \alpha_0^2 \times 8.5 \times 10^{-8} \approx 0,$$

与实测普通用户成功率 $\approx 0.25\%$ 在数量级上一致（差异源于 $\alpha_0 \neq 1$ 的实际初始条件）。

命题 3.3 的工程验证 我们委托一位持有相关访问授权的网络工程师（姓名因隐私保护不予披露）实测了同城机房部署脚本的 TCP握手+下单全流程时延，均值 $\Delta t_{\text{script}} = 1.87 \pm 0.23 \text{ ms}$ ，与式 (4) 预测的 2 ms 高度吻合。相比之下，同一工程师本人使用手机抢票的反应时间经10次测量均值为 $\Delta t_{\text{human}} = 183 \pm 31 \text{ ms}$ 。竞争优势比实测值 $R = 97.9$ ，超过命题给出的理论下界 75。

时间膨胀效应的统计验证 图 3 所示的等待时间分布呈现显著的重尾特性（Pareto 指数 $a \approx 1.2$ ），与式 (6) 预测的 $\Delta \tau_{\text{user}}/\Delta \tau_{\text{system}} \rightarrow \infty$ 在定性上高度一致。Kolmogorov-Smirnov 检验拒绝指数分布假设 ($p < 0.001$)，支持重尾分布的拟合。

4.4 敏感性分析

为评估脚本成功率估算不确定性对核心结论的影响，我们对 p_{script} 在 [15%, 45%] 范围内进行扫描（基准值 30.2%，误差约 ± 5 百分点）：

- **竞争优势比 R** ：在 $p_{\text{script}} \in [15\%, 45\%]$ 范围内， $\bar{R} \in [39\times, 118\times]$ ，始终远超理论下界 $75\times$ （仅当 $p_{\text{script}} < 30\%$ 时部分场次低于均值理论值，但 $R > 40\times \gg 1$ 的定性结论稳健）。
- **推论 3.2 验证**：普通用户成功率 $p_{\text{human}} < 1\%$ 的结论不依赖脚本成功率估算，直接由观测数据支持（两条独立数据来源的交叉验证）。
- **定理 6.2 的效用比较**： $U^{\text{ticket}} < 0$ 的结论由 $A_i^{\text{ticket}} \approx 0$ 驱动，不受 p_{script} 估算误差影响。

综上，论文的三个核心定量结论均对脚本成功率的估算误差具有鲁棒性。

5 讨论

5.1 三支柱模型的统一含义

本研究提出的三支柱理论体系在不同尺度上刻画了同一现象：碳基生物在演唱会票务竞争中的结构性失败。

量子叠加态坍缩模型 (§3.1) 揭示了宏观层面的概率命运——在足够大的并发压力与脚本渗透率下，普通用户的获票概率在数学意义上趋于零，与个体努力程度无关。神经动力学非对称性 (§3.2) 从微观生物物理层面给出了这一命运的机制性解释：150 ms 与 2 ms 之间的鸿沟并非工程可以弥合的网络延迟，而是神经传导速度的生物学极限。事件视界理论 (§3.3) 则从系统动力学层面解释了为何用户主观感受到的等待时间与系统内部的交易时序存在量级差异。

三者共同构成一个自洽的理论闭环，具有较强的解释完备性。

5.2 技术突破路径分析

存在若干技术路径可以打破命题 3.3 给出的竞争下界：

1. **光纤直连**：在售票服务器托管机房内租用服务器，将 L 压缩至数米，理论上可使 $\Delta t_{\text{script}} < 0.1 \text{ ms}$ ，但碳基生物仍无法接入此链路 (Δt_{human} 下界不变)。
2. **神经接口技术**：如脑机接口 (BCI) 能将神经信号直接转化为API调用，则 Δt_{human} 理论上可降低至皮层放电延迟水平 ($\sim 10 \text{ ms}$)。但这一方向的研究优先级在演唱会场景中尚未得到充分论证。
3. **量子计算辅助预测**：利用量子并行性提前预测售票系统的随机数种子，理论上可在 $t = 12:00:00$ 之前确定最优下单时机。该方向当前仍属科幻范畴 [Nielsen and Chuang, 2000]。

上述三条路径均需要超出普通自然人所能获取的技术资源，从而在事实上证实了本框架的核心论断。

5.3 信息不对称的经济学含义

Akerlof [1970] 的柠檬市场模型预测，严重的信息不对称将导致市场均衡向劣质卖方倾斜，最终可能导致市场崩溃。本研究揭示的演唱会票务市场中存在一种技术能力不对称，其破坏力甚至超过普通信息不对称：黄牛脚本的优势不仅来自信息，更来自物理上无法弥合的时延差距。

Arrow [1963] 关于市场失灵的分析框架提示，这一结构性不对称可能需要监管层面的干预，例如人机验证 (CAPTCHA)、预约抽签制度，或对自动化API访问的频率限制。

5.4 方法论局限性

本研究存在若干方法论层面的局限，需如实陈述：

首先，量子叠加态模型是一种功能性类比框架，而非主张门票资源真正处于量子相干态。在宏观常温系统中，量子效应的退相干时间远短于任何可观测的宏观动力学过程。本研究援引量子语言的学术正当性在于其描述力与启发性，而非物理字面意义。

其次，“信息学黑洞”理论同样是广义相对论的类比推广，式(6)并非严格意义上的广相时间膨胀方程，而是对服务器处理瓶颈引发的主观时间扭曲的形式化表达。

第三，黄牛脚本成功率的估算方法存在系统性误差，二级市场黑市数据的完整性无法通过标准科学流程验证。如有异议，研究者可在下一场周杰伦演唱会的售票队列中自行复现。

6 结论

本研究建立了首个关于“演唱会抢票失败”的完整物理学理论框架——**抢票失败物理学** (Ticket-Grabbing Failure Physics, TGFP)。

我们证明了：碳基生物在与硅基黄牛脚本的票务竞争中，面临三重不可逾越的物理学壁垒：(1) 量子叠加态坍缩导致高并发下获票概率振幅趋零 (定理 3.2)；(2) 神经传导与光纤响应时延之间存在 $R \geq 75\times$ 的生物物理下界 (命题 3.3)；(3) 信息学黑洞事件视界导致用户侧时间感知与系统内部时序之间产生约 10^3 倍的膨胀效应 (§3.3)。

通过对50场大型演唱会的拓扑分析，上述理论预测得到了充分的实证支持：普通用户平均成功率仅 0.38%，脚本估计成功率高达 30.2%，竞争优势比均值 $125\times$ 。

声波衍射最优路径定理

基于以上严密论证，本研究推导出如下实践性定理。为使“帕累托最优”表述严格，我们首先定义效用函数。

假设 6.1 (听觉获取效用函数). 自然人 i 对演唱会的效用由三个维度加权组成：

$$U_i = w_1 \cdot A_i - w_2 \cdot C_i + w_3 \cdot Q_i,$$

其中 $A_i \in [0, 1]$ 为听觉可及性 (能否听到演出)， $C_i \geq 0$ 为获取总成本 (含票价、时间成本)， $Q_i \in [0, 1]$ 为听觉质量 (信噪比归一化)， $w_1, w_2, w_3 > 0$ 为偏好权重。

定理 6.2 的结论在以下权重可行域内对一切 $\mathbf{w} = (w_1, w_2, w_3)$ 成立：

$$\mathcal{W} = \left\{ (w_1, w_2, w_3) : w_1, w_2, w_3 > 0, w_1 \cdot A_i^{diff} + w_3 \cdot Q_i^{diff} > 0 \right\}.$$

由于 $A_i^{diff} > 0$ (见附录 B)，可行域 \mathcal{W} 在正权重假设下自动满足，结论不依赖权重的具体数值。

定理 6.2 (声波衍射最优路径定理). 在假设 6.1 和权重可行域 \mathcal{W} 下，对于未掌握光纤直连技术与高频并发算法的自然人而言，设电子购票路径的期望效用为 U^{ticket} ，声波衍射路径的效用为 $U^{diffraction}$ 。则在附录 B 所述的物理条件下， $U^{diffraction} > U^{ticket}$ 对一切 $\mathbf{w} \in \mathcal{W}$ 成立，即声波衍射路径在效用意义上帕累托占优，且该优势与权重选择无关。

具体而言，该最优路径为：

携带马扎与扩音器，坐在体育场外的下水道井盖旁，利用低频声波的衍射效应 (*Diffraction*) 进行免费被动接收。

证明. **电子购票路径:** 由推论 3.2, $A_i^{\text{ticket}} \approx |\alpha|^2 \approx 0$; 同时 $C_i^{\text{ticket}} = p_{\text{ticket}} + t_{\text{wait}} \cdot v_{\text{time}} \gg 0$ (标准演唱会票价 $p_{\text{ticket}} > 500$ CNY, 等待时间成本 $t_{\text{wait}} \cdot v_{\text{time}} > 0$)。故 $U^{\text{ticket}} \approx -w_2 C_i^{\text{ticket}} < 0$ 。

声波衍射路径: 由附录 B, 衍射可及性 $A_i^{\text{diffraction}} > 0$ (声压级约 -10 dB 衰减, 仍可辨认演出内容, 故 $A_i^{\text{diff}} \in (0, 1]$); $C_i^{\text{diffraction}} = 0$ (马扎与扩音器为沉没成本, 边际成本为零); $Q_i^{\text{diffraction}} > 0$ (低频衍射保留基频与旋律信息)。故 $U^{\text{diffraction}} = w_1 A_i^{\text{diff}} + w_3 Q_i^{\text{diff}} > 0$ 对一切 $\mathbf{w} \in \mathcal{W}$ 成立。

综合: $U^{\text{diffraction}} > 0 > U^{\text{ticket}}$, 与权重无关。 \square \square

局限性与未来工作

本研究的主要局限已在§5 中详细讨论。未来工作的两个有前景方向为: (1) 将 TGFP 框架推广至电商秒杀、演唱会周边预售等类似高并发场景; (2) 探索量子计算机是否能在理论上帮助碳基生物突破命题 3.3 给出的生物物理下界——尽管这一方向的工程可行性目前尚不明朗。

框架定位声明: 本研究的贡献是一个统一解释性框架, 而非关于演出票务物理机制的字面物理理论。量子叠加态、广义相对论类比与声波衍射均作为严格描述工具使用, 目的在于揭示碳基生物与硅基脚本之间竞争不对称性的多尺度本质, 从而为监管政策与用户决策提供理论依据。

参考文献

- George A. Akerlof. The market for “lemons”: Quality uncertainty and the market mechanism. *Quarterly Journal of Economics*, 84(3):488–500, 1970. 信息不对称市场理论; 柠檬市场.
- Kenneth J. Arrow. Uncertainty and the welfare economics of medical care. *American Economic Review*, 53(5):941–973, 1963. 市场失灵; 信息不对称的经济后果.
- Max Born. Zur quantenmechanik der stoßvorgänge. *Zeitschrift für Physik*, 37:863–867, 1926. 波函数概率诠释.
- Eric A. Brewer. Towards robust distributed systems. In *Proceedings of the 19th Annual ACM Symposium on Principles of Distributed Computing (PODC 2000)*, page 7, 2000. CAP定理; 分布式系统一致性-可用性权衡.
- Paul A. M. Dirac. *The Principles of Quantum Mechanics*. Oxford University Press, 1930. 量子力学狄拉克符号体系.

Franciscus C. Donders. On the speed of mental processes. *Acta Psychologica*, 30: 412–431, 1969. 原作1868年，译本1969年；人类反应时间实验先驱。

Albert Einstein. *Die Feldgleichungen der Gravitation*. Sitzungsberichte der Preußischen Akademie der Wissenschaften, 1915. 广义相对论场方程；时间膨胀理论基础。

Richard P. Feynman. *Simulating Physics with Computers*, volume 21. 1982. 量子计算概念提出。

Christiaan Huygens. *Traité de la Lumière*. Pierre van der Aa, Leyde, 1690. 惠更斯原理；声波衍射理论基础。

Andrzej C. Kosinski. A literature review on reaction time. *Clemson University*, 2013. 人类反应时间综述（150 ms下界文献支撑）。

Leslie Lamport. Time, clocks, and the ordering of events in a distributed system. *Communications of the ACM*, 21(7):558–565, 1978. 分布式系统时序理论。

Michael A. Nielsen and Isaac L. Chuang. *Quantum Computation and Quantum Information*. Cambridge University Press, 2000. 量子信息标准教材。

Jon Postel. Transmission Control Protocol. RFC 793, IETF, 1981. TCP/IP协议；光纤响应时间计算基础。

John William) Rayleigh, Lord (Strutt. *The Theory of Sound*. Macmillan, 2nd edition, 1894. 经典声学理论；低频衍射效应。

Erwin Schrödinger. Die gegenwärtige situation in der quantenmechanik. *Naturwissenschaften*, 23(49):807–812, 1935. 原始“薛定谔猫”论文，量子叠加态基础。

大麦网. 2023年演出市场年度数据报告, 2023. 演唱会并发访问量公开数据来源。

猫眼演出. 2024年演出行业白皮书, 2024. 售票成功率统计数据来源。

A 定理1 完整证明

完整证明见正文§3.1。此处补充 $\alpha_0 \neq 1$ 一般情形的证明：在无脚本干预时，单用户期望概率为 $\alpha_0^2 = M/N$ （均匀分配假设）。则：

$$|\alpha(N, \lambda)|^2 = \frac{M}{N} \cdot e^{-2\lambda N/N_0}.$$

由于指数项衰减速度远快于 M/N 的多项式项，当 $N \rightarrow \infty$ 时整体趋零，结论不变。

□

B 声波衍射效率计算

设体育场外墙孔洞（下水道入口）开口宽度 $d = 0.6 \text{ m}$ ，声波频率 $f = 100 \text{ Hz}$ ，音速 $c_s = 343 \text{ m/s}$ ，则波长 $\lambda_s = 3.43 \text{ m} \gg d$ ，处于强衍射区。衍射角 $\theta \approx \arcsin(\lambda_s/d) = 90$ ，即声波几乎以球面波形式绕射至体育场外部。坐于距入口 $\sim 5 \text{ m}$ 处的马扎观众可接收到约 -10 dB 衰减的声场，在安静夜晚环境（背景噪声 $\sim 40 \text{ dB SPL}$ ）下可清晰辨认演出内容。